

# 표준 $H_\infty$ 제어와 LQ제어의 성능 비교 연구

노태훈\*, 박진배, 문영현, 이태석  
연세대학교 전기공학과

## A Study on the Performance Comparison of Standard $H_\infty$ Control and LQ Control

Tae-Hoon Roh, Jin-Bae Park, Young-Hyun Moon, Tae-Shik Lee  
Dept. of Electrical Eng., Yonsei University

### Abstract

It is a standard problem that designs a controller to minimize the  $H_\infty$ -norm of a given plant. By reducing a standard problem to a model-matching problem, we can obtain all the parameters which consist of a controller.

After presenting a practical model and applying it to a tracking model, we design an  $H_\infty$  controller and an LQ controller to concrete that  $H_\infty$  control theory is far more robust than LQ control theory. And we show the advantage of an  $H_\infty$  controller by obtaining a desired Bode diagram and comparing it with that of an LQ controller.

### 1. 서론

$H_\infty$  제어이론은 놈(norm)의 개념을 이용한 것인데 이는 실함수 해석에 수학적 기초를 두고 있다. 1981년 Zames[1]가 피드백이 감도에 주는 영향을 놈의 개념을 도입하여 설명함으로써 처음 소개된 이 이론은 외란이 존재할 때 상당한 오차의 감소를 가져온다고 알려져 있다.

$H_\infty$  제어문제란 주어진 모델의 전달함수 행렬의  $H_\infty$ -놈을 최소화시키는 제어기를 설계하는 것이다. 본 논문에서는  $H_\infty$  제어 문제를 표준 문제에서 모델매칭 문제로 축소하여 해석하고, 인수분해 이론과 상태공간 방법을 적용하여 각 파라미터들을 유도하고자 한다.

본 논문은  $H_\infty$  제어를 외란이 존재하는 추적문제(tracking problem)에 적용하여 오차를 줄임으로써  $H_\infty$  제어가 LQ(linear quadratic) 제어[2]보다 나은 성능을 가지고 있음을 보여주고자 한다. 시뮬레이션시, 패키지 유틸리티인 386pc-MATLAB을 이용하여  $H_\infty$  제어기와 LQ제어기를 설계하고자 하며 매트랩(Matlab) 함수를 이용하기 위하여 추적 모델을 변형시켜 LQ제어를 적용하는 방법을 제시하고자 한다.

### 2. 표준 $H_\infty$ 제어

#### 2.1 표준 문제 및 모델매칭 문제

그림 2.1은 표준 문제를 나타내는 블럭선도이다.

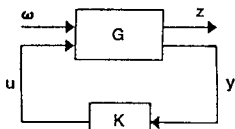


그림 2.1 표준 문제 블럭선도

여기서  $w$ 는 외부신호, 즉 외란, 센서노이즈, 기준 입력등이고  $u$ 는 제어 신호이고  $z$ 는 제어되는 신호, 즉 추적 오차, 제어 플랜트 출력, 구동기 출력등이고  $y$ 는 측정 신호이다.  $G(s)$ 를 최소화 실현시키고 다음을 정의하자.

$$[A, B, C, D] := D + C(s - A)^{-1}B$$

이때,  $G$ 의 입력은  $w$ 와  $u$ , 출력은  $z$ 와  $y$ , 그리고  $B, C, D$ 는 입력의 개수에 따라 각각 구분(partition) 할 수 있다.

표준 문제란 제어기  $K$ 가 플랜트  $G$ 를 안정화시키는 조건 하에서  $w$ 에서  $z$ 로의 전달행렬의  $H_\infty$ -놈을 최소화시키는 적절한 계수 행렬  $K$ 를 찾는 것으로 정의되는데, 표준 문제의 한 대표적 예가 모델매칭 문제이다. 이것은 플랜트와 모델의 입·출력 응답 사이의 오차를 최소화시키는 계단 제어기(cascade controller)를 설계하는 것이다. 그림 2.2는 모델매칭 문제를 블럭선도로 보여주는 그림이다.

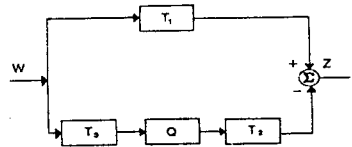


그림 2.2 모델매칭 문제 블럭선도

#### 2.2 파라미터화

실계수 유리함수(real-rational function)를 포함하는  $H_\infty$ 의 부분집합을  $RH_\infty$ 로 나타낸다.  $RH_\infty$ -파라미터 행렬  $Q$ 와 공수수 인수분해(coprime factorization)를 이용해서  $G$ 를 안정화시키는 모든  $K$ 를 파라미터화 시킴으로써  $K$ 가  $G$ 를 안정화시킬 수 있다. 이를 위해 다음 정리를 고려해보자.

정리 2.1  $K$ 가  $G_{22}$ 를 안정화 시키면  $K$ 가  $G$ 를 안정화 시키고 그 역도 성립하게 된다[3]. 여기서  $G_{22}$ 는 행렬  $G$ 의 2번째 행, 2번째 열의 요소이다.

이에따라 공수수분해로  $K$ 를 파라미터화시키자.  $G$ 의 이중 공수수 인수분해는 다음과 같다.

$$G_{22} = N_2 M_2^{-1} = \tilde{M}_2^{-1} \tilde{N}_2 \quad (2.1)$$

$$\begin{bmatrix} \tilde{X}_2 & -\tilde{Y}_2 \\ -\tilde{N}_2 & \tilde{M}_2 \end{bmatrix} \begin{bmatrix} M_2 & Y_2 \\ N_2 & X_2 \end{bmatrix} = I \quad (2.2)$$

그리고  $K$ 의 공수수 인수분해는 다음과 같다.

$$K = UV^{-1} = \tilde{V}^{-1} \tilde{U} \quad (2.3)$$

위 식의  $K$ 는 다음 정리에 의해 파라미터화시킬 수 있다.

정리 2.2  $G$ 를 안정화시키는 모든  $K$ 의 집합은 다음의 공식에 의하여 파라미터화 된다[4].

$$K = (Y_2 - M_2 Q)(X_2 - N_2 Q)^{-1} \quad (2.4)$$

$$= (\tilde{X}_2 - Q \tilde{N}_2)^{-1} (\tilde{Y}_2 - Q \tilde{M}_2)$$

$$Q \in RH_\infty$$

아래의 파라미터들은 공수수 인수분해의 정의를 이용하여 다음의 상태 방정식과 두개의 식으로부터 얻을 수 있다[5].

$$\dot{x} = Ax + B_2u \quad (2.5)$$

$$y = C_2x$$

$$A_F := A + B_2F \quad A_H := A + HC_2 \quad (2.6)$$

각 파라미터들의 전달행렬은 다음과 같다.

$$M_2(s) := [A_F, B_2, F, I] \quad X_2(s) := [A_F, -H, C_2, I] \quad (2.7)$$

$$N_2(s) := [A_F, B_2, C_2, 0] \quad Y_2(s) := [A_F, -H, F, 0]$$

$$\tilde{M}_2(s) := [A_H, H, C_2, I] \quad \tilde{X}_2(s) := [A_H, -B_2, F, I]$$

$$\tilde{N}_2(s) := [A_H, B_2, C_2, 0] \quad \tilde{Y}_2(s) := [A_H, -H, F, 0]$$

다음에  $w$ 에서  $z$ 로의 전달행렬  $T_1 - T_2QT_3$ 와 식(2.4)의  $K$ 가 같도록 놓으면  $T_1$ 를 얻을 수 있다[3]. 그러므로 지금까지 구한 파라미터들을 가지고 대수연산을 하면 다음과 같이 전달 행렬  $T_1$ 가 구해진다.

$$T_1(s) = [A_1, B_1, C_1, D_{11}] \quad (2.8a)$$

$$A_1 = \begin{bmatrix} A_F & -B_2F \\ 0 & A_H \end{bmatrix}, \quad B_1 = \begin{bmatrix} B_1 \\ B_1 + HD_{21} \end{bmatrix}$$

$$C_1 = [C_1 + D_{12}F, -D_{12}F]$$

$$T_2(s) = [A_F, B_2, C_1 + D_{12}F, D_{12}] \quad (2.8b)$$

$$T_3(s) = [A_H, B_1 + HD_{21}, C_2, D_{21}] \quad (2.8c)$$

### 2.3 모델매칭 오차의 최소화

최소(infimal) 모델매칭 오차를 다음과 같이 정의하자.

$$\alpha := \inf\{\|T_1 - T_2QT_3\|_\infty : Q \in RH_\infty\} \quad (2.9)$$

식(2.9)은 다음과 같이 나타낼 수 있다.

$$\alpha = \text{dist}(T_1, T_2H_\infty T_3) \quad (2.10)$$

즉  $\alpha$ 는  $T_1$ 에서 다음에 정의된 부분공간까지의 거리다.

$$T_2H_\infty T_3 := \{T_2QT_3 : Q \in H_\infty\}$$

$\alpha$ 는 특별한 경우에 Hankel 연산자의 놈과 같음을 다음 정리에서 알 수 있다.

정리 2.3 행렬  $R (\in L_\infty)$ 과 가장 가까운  $H_\infty$ -행렬과의 거리는  $H_2$ 로부터  $H_2$ 까지의 연산자  $(\Pi M_R | H_2)$ 의 놈과 같다. 여기서  $\Pi M_R | H_2$ 는 기호  $R$ 을 가지는 Hankel 연산자이다.

유리수 기호를 가진 Hankel 연산자의 놈은 상태공간 방법으로 계산될 수 있다.  $R$ 을  $RH_\infty$ 에 있는 행렬이라고 하고  $C(s-A)^{-1}B$ 를 불안정부분의 최소실현이라고 하면,  $R(s)$ 는 다음과 같이 표현할 수 있다.

$$R(s) = C(s-A)^{-1}B + (RH_\infty \text{에 존재하는 행렬})$$

그리고 다음의 Liapunov 방정식을 고려해보자.

$$A'L_c + L_cA' = BB' \quad (2.11)$$

$$A'L_o + L_oA = C'C$$

$$L_c := \int_{-\infty}^0 e^{A't} BB' e^{A't} dt$$

$$L_o := \int_{-\infty}^0 e^{A't} C' C e^{A't} dt$$

여기서 프라임(')은 전치(transpose)를 의미하고,  $L_c, L_o$ 는 Liapunov 방정식의 유일한 해다. 그러므로  $L_c L_o$ 는 양의 실수인 고유치만을 가진다.

보조정리 2.3 유리수 기호  $R$ 을 가진 Hankel 연산자  $\Gamma := \Pi M_R | H_2$ 는 유한한 랭크를 가진다. 연산자  $\Gamma^* \Gamma$ 와 행렬  $L_c L_o$ 은 영이 아닌 고유치를 공유한다. 특히  $\Gamma$ 의 놈은  $L_c L_o$ 의 가장 큰 고유치의 제곱승근과 같다. 여기서 스타(\*)는 복소수 연합 전치(complex-conjugate transpose)를 의미한다.

이때  $\alpha$ 를 직접 구할 수는 없다. 그러나 반복계산에 의해  $\alpha$ 에 근접한 상한치를 계산하는 것은 가능하다. 즉 실수  $\gamma$ 가 부등식  $\alpha < \gamma$ 를 만족하면 다음식을 만족하고 그 역도 성립한다.

$$\text{dist}(T_1, T_2H_\infty T_3) < \gamma \quad (2.12)$$

여러가지  $\gamma$ 값에 대해 식(2.12)를 만족하는지 테스트하여 원하는 신뢰도로  $\alpha$ 를 구할 수 있다. 일반적인 결과는 다음 정리 2.4와 같다.

정리 2.4  $Q \in RH_\infty$ 이면 다음 식이 성립한다[6].

$$\|T_1 - T_2QT_3\|_\infty < \gamma, \quad \gamma > 0$$

여기서 전제조건은 다음과 같다.

$$\|Y\|_\infty < \gamma, \quad \|Z\|_\infty < 1, \quad \|R - X\|_\infty < 1$$

$$T_2 = U_i U_o, \quad U_i \text{ 내부(inner)}, \quad U_o \text{ 외부(outer)} \quad (2.13a)$$

$$Y := (I - U_i U_i^{-1}) T_1 \quad (2.13b)$$

$$Y_o := \gamma^2 I - Y^* Y \text{의 스펙트랄 요소} \quad (2.13c)$$

$$T_3 Y_o^{-1} := V_{co} V_{ci}, \quad V_{co} \text{ 공-외부}, \quad V_{ci} \text{ 공-내부} \quad (2.13d)$$

$$Z := U_i^{-1} T_1 Y_o^{-1} (I - V_{ci}^{-1} V_{ci}) \quad (2.13e)$$

$$Z_{co} := I - ZZ^* \text{의 공-스펙트랄 요소} \quad (2.13f)$$

$$R := Z_{co}^{-1} U_i^{-1} T_1 Y_o^{-1} V_{ci}^{-1} \quad (2.13g)$$

$$X := Z_{co}^{-1} U_o Q V_{co} \quad (2.13h)$$

반복 계산을 통해서 적당한  $\gamma$ 를 구한후  $\|R - X\|_\infty < 1$ 을 만족하는  $X$ 를 찾고 식(2.13h)에서  $Q$ 를 구할 수 있다.

$R$ 을  $RH_\infty$  행렬이라고 하고 문제를 공식화하면 다음을 만족하는 행렬  $X (\in RH_\infty)$ 를 정리 2.5를 이용하여 구할 수 있다.

$$\|R - X\|_\infty = \text{dist}(R, RH_\infty) \quad (2.14)$$

정리 2.5 최적  $X$ 는 다음과 같이 주어진다.

$$X(s) = R(s) - \lambda[A, w, C, 0] / [-A', v, B', 0]$$

여기서  $\lambda^2$ 은  $L_c L_o$ 의 최대고유치이고,  $w$ 는 이에 대응하는 고유벡터이며, 그리고  $v := \lambda^{-1} L_o w$ 이다.

## 3. LQ 제어

그림 3.1과 같은 제어 시스템에 대한 상태 방정식은 다음과 같다.

$$\dot{x} = Ax + Bu \quad (3.1)$$

$$u = -Kx \quad (3.2)$$

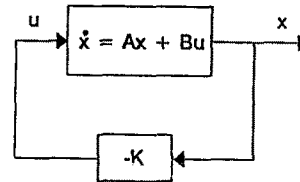


그림 3.1 LQ 제어 시스템

주어진 제어 시스템의 성능을 평가하기 위해 다음과 같이 평가지수(performance index)를 정의한다.

$$J = \int_0^\infty (x'Qx + u'Ru) dt \quad (3.3)$$

여기서  $Q, R$ 은 양한정(positive-definite) Hermitian 또는 실대칭 행렬(real symmetric matrix)이다.

이러한 평가지수에 기초한 최적 조정 시스템(optimal regulator system)을 설계하는 것은 평가지수  $J$ 를 최소화 하는 이득행렬  $K$ 를 결정하는 것이다. 이때 평가지수  $J$ 를 최소화하는 이득행렬  $K$ 는 다음과 같이 주어진다[2].

$$K = -R^{-1}B'S \quad (3.4)$$

여기서  $S$ 는 다음과 같은 Riccati 방정식을 만족시키는 행렬이다.

$$A'S + SA - SBR^{-1}B'S + Q = 0 \quad (3.5)$$

#### 4. 시뮬레이션 및 결과 고찰

본 장에서는 2장에서 제시한 표준 문제와 모델매칭 기법을 의한 즉, 기준입력을 가지는 추적문제에 적용하여 제어를 구했다. 그리고 LQ 제어기도 구하여 성능비교를 함으로써  $H_\infty$  제어의 특성을 고찰하였다. 수치계산 및 프로그램은 매트랩(Matlab) 패키지를 이용하였다.

##### 4.1 시뮬레이션

주어진 모델은 다음과 같다. 플랜트 P는 불안정한 것으로 잡았고 하중인수와 하중필터를 다음과 같이 정했다.

$$P(s) = \frac{s-1}{s(s-2)}, \quad W(s) = \frac{0.5s+0.95}{10s+1}, \quad \rho = 1$$

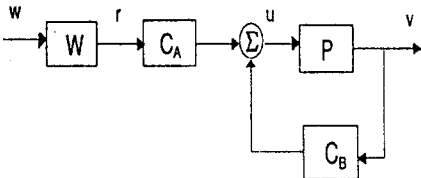


그림 4.1 추적 모델

그림 4.1에서 추적 오차 신호를  $r - v$ 로 잡으면 비용함수(cost function)는 다음과 같이 잡을 수 있다.

$$(\|r-v\|_2^2 + \|u\|_2^2)^{1/2} \quad (4.1)$$

여기서  $\rho > 0$ 은 스칼라 하중인수이다.

식(4.1)을  $z$ 로 바꾸고 그림 2.1의 나머지 변수들도 다음과 같이 정의하여 추적문제를 표준문제로 변형할 수 있다.

$$z := \begin{bmatrix} r - v \\ \rho u \end{bmatrix}, \quad y := \begin{bmatrix} r \\ v \end{bmatrix}, \quad K := \begin{bmatrix} C_A & C_B \end{bmatrix}$$

$$G := \begin{bmatrix} G_{11} & G_{12} \\ G_{21} & G_{22} \end{bmatrix}$$

위 행렬에서 그림 4.1의 전달함수 G를 구할 수 있다.

$$G(s) = \begin{bmatrix} \frac{0.5s+0.95}{10s+1} & -\frac{s-1}{s(s-2)} \\ 0 & 1 \\ \frac{0.5s+0.95}{10s+1} & 0 \\ 0 & \frac{s-1}{s(s-2)} \end{bmatrix}$$

최소 실현을 시켜서 상태방정식의 계수를 구하고 식 (2.6)에 정의된 F, H를 구한 후 식(2.8)을 이용하여  $T_1, T_2, T_3$ 를 구한다.

정리 2.3에 의해서 최적 적절한 제어가 존재함을 알 수 있다. 그리고 정리 2.4에 의해서 다음과 같은 최적 Q를 구하는 알고리즘이 나온다.

- step 1. Y와  $\|Y\|_\infty$ 를 계산한다.
- step 2. a에 대한 상한치  $\alpha$ 를 찾는다.
- step 3. 구간  $[\|Y\|_\infty, \alpha]$ 에서 시험값  $\gamma$ 를 택한다.
- step 4. z와  $\|Y\|_\infty$ 를 구한다.
- step 5.  $\|Y\|_\infty < 1$ 이면 다음으로 넘어가고 아니면  $\gamma$ 를 증가시켜 step 4로 간다.
- step 6. R과  $\|\Gamma_R\|$ 를 계산한다.  $\alpha < \gamma$ 이면  $\|\Gamma_R\| < 1$ 이므로 이에따라  $\gamma$ 값을 증가시킨다. 그리고 step 3으로 돌아간다. 거의 정확한 상한치  $\alpha$ 가 얻어지면 step 5로 간다.
- step 7.  $\|R-X\|_\infty \leq 1$ 을 만족하는  $X (\in RH_\infty)$ 를 구한다.
- step 8.  $X = Zc^{-1}U_0QV_0$ 에서  $Q (\in RH_\infty)$ 를 구한다.

step 6까지 반복계산을 하면  $\gamma$ 값의 변화는 다음과 같다.

표 4.1  $\gamma$  값에 따른  $\|\Gamma_R\|$ 의 결과 값

$\gamma$	$\ \Gamma_R\ $
0.25	0.7069
0.23	0.7922
0.21	0.9068
0.17	1.3777
0.16	1.7268

표 4.1에서  $\gamma$ 를 0.21로 잡는다.

이때 Q는 step 8에서 다음과 같이 나온다.

$$Q_1 = \frac{(s+1)^2(0.6633s^2+1.7905s+0.7596)}{(0.5s+0.95)(0.3586s+1)(s^2+\sqrt{7}s+1)}$$

$Q_2$ 는 zero로 놓는다(unconstrained).

마지막 단계로 식 (2.4)와 (2.7)로부터 K를 구한다.

$$C_A = -\frac{(s+1)^4(0.6633s^2+1.7905s+0.7596)}{(0.5s+0.95)(s+3.108)(s^2+\sqrt{7}s+1)(s^2+6s-23)}$$

$$C_B = -\frac{41s-1}{s^2+6s-23}$$

설계특성을 관찰하기 위해 기준신호 r에서 추적오차  $r - v$ 로의 전달함수  $H_1$ 을 그림 4.2에서 Bode 선도로 나타내었다.  $H_1$ 은 그림 4.1에서 다음과 같이 구할 수 있다.

$$H_1 = \frac{1 - PC_B - PCA}{1 - PC_B}$$

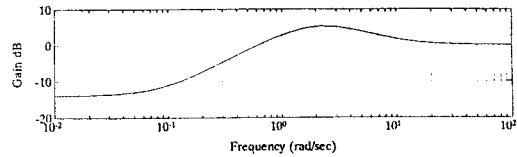


그림 4.2 전달함수  $H_1$ 의 Bode선도

위 그림에서 동작 주파수구간 (0, .1]에서는 -12dB 이하임을 볼 수 있다. 이것은  $H_\infty$  제어를 통해서, 오차  $r - v$ 가 기준신호의 6.3% 이하로 작음을 알 수 있다.

다음에는 LQ제어를 구해보았다. 문제를 간략하게 하기 위하여 그림 4.1를 그림 4.3과 같이 변형시켰다.

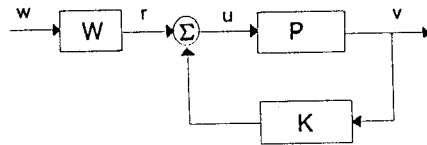


그림 4.3 피드백 루프 시스템

여기서는 매트랩 패키지를 이용했기 때문에 매트랩함수에 변수를 맞추기 위해 입출력 관계를 변형시켰다.

$$\begin{bmatrix} r - v \\ u \end{bmatrix} = \begin{bmatrix} W & -P \\ 0 & I \end{bmatrix} \begin{bmatrix} w \\ u \end{bmatrix}$$

이것을 최소화 실현 시키고 하중행렬 Q, R을 구하면 다음과 같다.

$$Q = \begin{bmatrix} .0001 & 0 \\ 0 & 1000 \end{bmatrix}, \quad R = \begin{bmatrix} .0001 & 0 \\ 0 & 10 \end{bmatrix}$$

그리고 이득행렬을 구하면 다음과 같다.

$$K = \begin{bmatrix} 0.2311 & -0.3232 & 0.5165 \\ 0.0000 & -0.0001 & 4.0002 \end{bmatrix}$$

상태 변수를 출력에 연결시키고 피드백연결을 하여 r에서  $r - v$ 로의 전달함수  $H_2$ 를 구하여 Bode 선도를 그리면 그림 4.4와 같다.

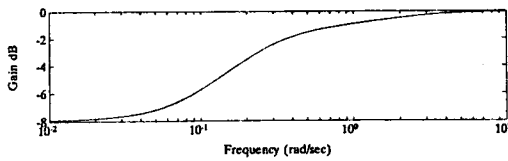


그림 4.4 전달함수  $H_2$ 의 Bode선도

그림에서  $H_2$ 의 크기는 동작주파수 구간  $[0, .1]$ 에서 -6dB로부터 -8dB 정도이다. 따라서 오차가 기준신호의 약 20% 정도가 되므로  $H_\infty$ 제어에 비해서 훨씬 큼을 알 수 있다.

#### 4.2 결과 고찰

그림 4.2는 기준입력  $r$ 에서 추적오차  $r - v$ 로의 전달함수를 나타낸다. 한편, 필터  $W$ 는 주파수가 0.1일때까지 거의 0dB가 나온다. 따라서  $W$ 를 통해서 기준입력  $r$ 이 갖는 에너지가 주파수대역  $[0, .1]$ 에 집중되어있기 때문에 이 구간이 기준입력의 동작주파수 대역이 된다. 그런데 그림 4.2는 이 구간에서 -12dB보다 작은 값을 갖기때문에  $H_\infty$ 제어를 통해 상당한 오차의 감소를 가져왔음을 알 수 있다. 그림 4.4는 LQ 최적 제어를 통한  $r$ 에서  $r - v$ 로의 전달함수의 Bode 선도를 나타내었다. 그림 4.2와 비교해서 동작 주파수 안에서의 오차가 3배이상 크다. 이 원인은 LQ 최적제어가 알려지지 않은 외부입력, 즉 외란에 약하기 때문이다. 이로써  $H_\infty$ 제어가 LQ제어보다 외란에 강함(robust)을 알 수 있다.

### 5. 결론

본 논문에서는 하디 공간(Hardy Space)에서 정의된 놈의 개념을 이용하여  $H_\infty$ 제어 이론 중의 하나인 표준 문제를 모델매칭 문제로 축소시키고 공소수 인수분해 이론을 이용하여 파라미터화시킨 후, 이를 추적문제에 적용하여 제어기  $K$ 를 구하였다. 또한 같은 모델에서 LQ제어를 구함으로써 두 제어기의 성능을 비교하였다. 시뮬레이션 결과, 외란이 존재할 때는  $H_\infty$ 제어가 뛰어난 성능을 가짐을 알 수 있었다.

### 6. 참고 문헌

- [1] G. Zames, "Feedback and Optimal Sensitivity : Model Reference Transformations, Multiplicative Seminorms, and Approximate Inverses," *IEEE Trans. Automat. Contr.*, vol. AC-26, pp.301-320, 1981.
- [2] K.Ogata, *Modern Control Engineering*, 2nd Edition, Prentice-Hall,1980.
- [3] P.P. Khargonekar, I.R. Peterson, and M.A. Rotea, " $H_\infty$ -Optimal Control with State Feedback", *IEEE Trans. Automat. Contr.*, vol 33, pp.786-788, 1988.
- [4] D.C. Youla, H. A Jabr and J. J Bongiorno Jr., "Modern Wiener-Hopf Design of Optimal Controllers " : Part II, *IEEE Trans. Automat. Cont.*, AC-21, pp.319-338, 1976.
- [5] B.A. Francis, and J.C. Doyle, "Linear Control Theory with an  $H_\infty$  Optimality Criterion", *SIAM J. Contr. Opt.*, vol. 25, pp. 815-844, 1987.
- [6] J. C. Doyle, *Lecture Notes in Advances in Multivariable Control*, ONR/Honeywell Workshop, Minneapolis, MN, 1984.